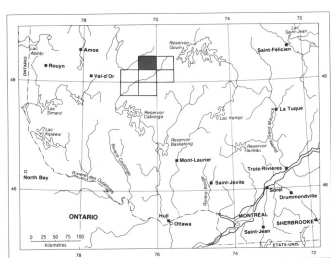
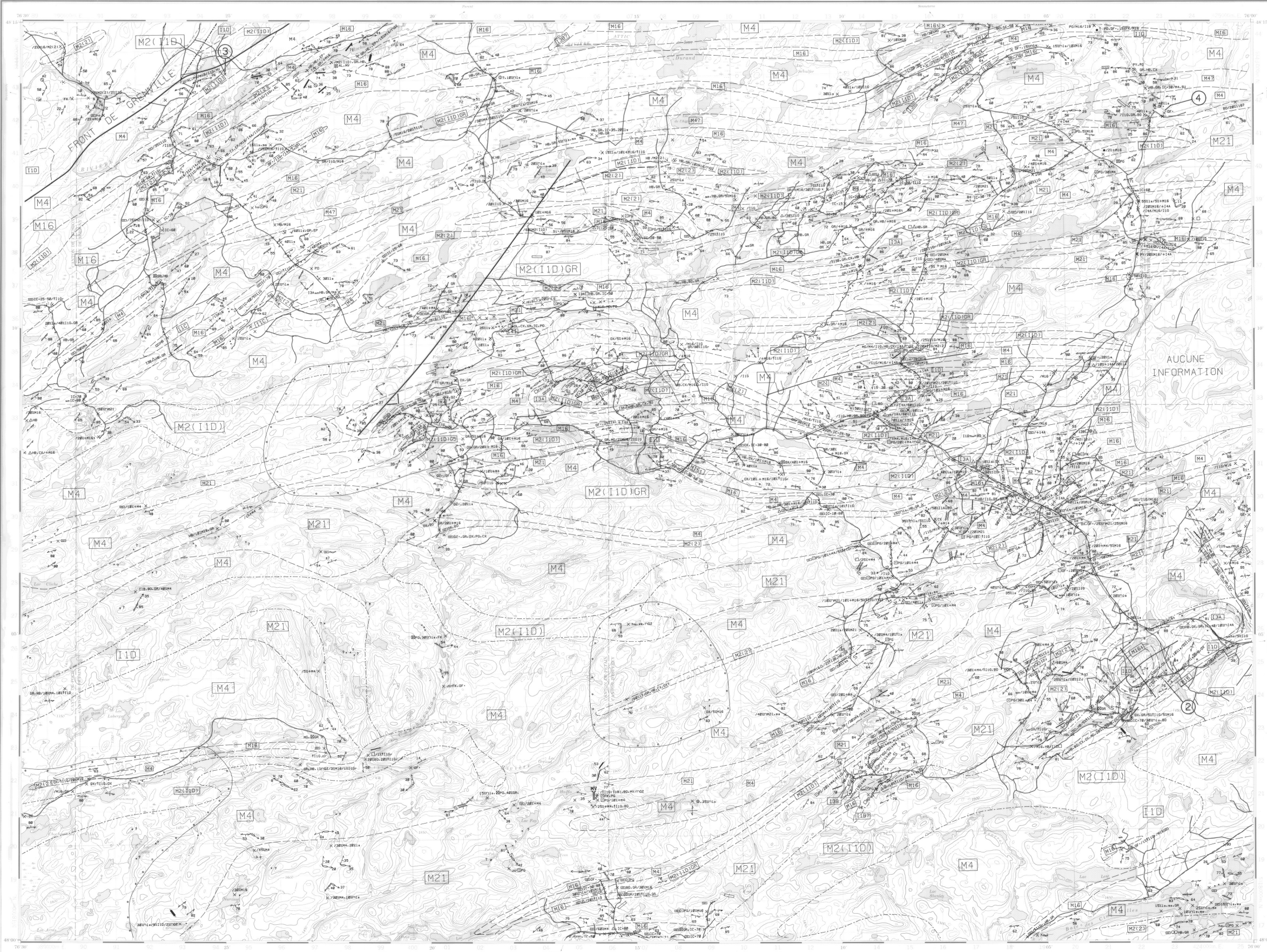


LITHOFACIÉS		ÉLÉMENTS STRUCTURAUX	
11A	Granite à feldspath alcalin	a b c	Litage magmatique ou sédimentaire vestige:
11B	Granite	a b c d	Pendage a) indéterminé, b) incliné, c) sub-vertical
11C	Granodiorite (non-certiifié par un test de coloration des feldspaths)	a b c d	Schistosité et foliation minérale première:
11D	Tonalite ou tonalhyérite	a b c d	Pendage a) indéterminé, b) incliné, c) sub-vertical, d) sub-horizontal
11G	Pegmatite	a b c d	Schistosité et foliation minérale seconde:
11Gr	Pegmatite rose	a b c d	Pendage a) indéterminé, b) incliné, c) sub-vertical
12A	Syénite quartzeuse à feldspath alcalin	a b c d	Civage tardif: pendage a) incliné, b) sub-vertical
12C	Syénite quartzeuse	a b c d	Gneissosité première:
12D	Syénite	a b c d	Pendage a) indéterminé, b) incliné, c) sub-vertical, d) sub-horizontal
12E	Monzonite quartzifère	a b c d	Gneissosité seconde: pendage a) indéterminé, b) incliné, c) sub-vertical
12F	Monzonite	a b c d	Rubanement migmatique: pendage a) indéterminé, b) incliné, c) sub-vertical
13A	Gabbro	a b c d	Rubanement tectonique catazonal (premier): pendage incliné
13AO	Gabbro coronitique	a b c d	Rubanement tectonique ou mylonite (second): pendage incliné
13B	Diabase et microgabbro	a b c d	Asymétrie reliée au rubanement:
13B7	Diabase interprétée à partir des cartes aéromagnétiques (champ total)	a b c d	Composante a) droite, b) senestre, c) normale, d) inverse
13G	Anorthosite	a b c d	Plan axial de pli mésostructural:
13J	Norite	a b c d	Pendage a) indéterminé, b) incliné, c) sub-vertical
13O	Lamprophyre (spessartite)	a b c d	Pli mésostructural:
14A	Hornblende	a b c d	a) synclétique, b) droite, c) déjeté normal, d) déjeté inverse
14B	Pyroxénite	a b c d	Faïte mineure: pendage a) indéterminé, b) incliné, c) sub-vertical
14I	Périodite	a b c d	Mouvement a) droite, b) senestre, c) normal, d) inverse
V3B	Basalte	a b c d	Cisailllement mineur:
S3	Grauwacke	a b c d	Pendage a) indéterminé, b) incliné, c) sub-vertical
S8D	Formation de fer silicaté	a b c d	Mouvement apparent a) senestre, b) droite, c) indéterminé
M2	Gneiss rubané	a b c d	Shear band: a) droite, b) senestre
M2, GR	Pyritarite	a b c d	Bande de kink: a) droite, b) senestre
M2(I10)	Gneiss tonalitique	a b c d	Dyke à pendage: a) indéterminé, b) incliné, c) sub-vertical
M2(I10)7	Gneiss tonalitique interprété de la carte aéromagnétique	a b c d	Veine à pendage: a) incliné, b) sub-vertical
M2(I10),GR	Gneiss tonalitique à grenat	a b c d	Joint à pendage: a) incliné, b) sub-vertical
M2(I10)m	Gneiss tonalitique mésocrate	a b c d	Liniéation d'éirement
M2(2)	Gneiss intermédiaire	a b c d	Alignement de minéraux métamorphiques
M4	Paragneiss à boîte et grenat	a b c d	Axo long de boudins
M47	Paragneiss mésocrate d'afinité incertaine	a b c d	Axo de pli et liniéation d'intersection: a) pré-gneissosité, b) post-gneissosité
M4,BO	Paragneiss à boîte	a b c d	Site de glissement de faille
M6	Gneiss rose	a b c d	Site glaciaire
M7	Granulite	a b c d	Tranchée d'exploration minière abandonnée
M12	Quartzite	a b c d	Indice minéralisé
M14	Roche calco-silicatée	a b c d	
M16	Gneiss mafique à amphibole et grenat	a b c d	
M18	Amphibolite	a b c d	
M21	Diatexite dérivant d'un paragneiss	a b c d	
M27	Pseudotachylite	a b c d	

STRUCTURES RÉGIONALES		ÉLÉMENTS TEXTURAUX		MINÉRAUX	
a b c d	Faïte régionale:	●	Grain fin (<1mm)	AL	Altalite
a b c d	a) observée, b) interprétée, c) déduite par géophysique, d) déduite par photointerprétation	●	Grain moyen (1mm < x < 2mm)	AM	Amphibole
a b	Faïte de chevauchement	●	Grain grossier (2mm < x < 2mm)	BE	Béryl
a b	Trace d'une surface axiale: a) observée, b) interprétée	○	Pegmatite (>5mm)	BO	Boîtes
a b c d	Synforme et antiforme de première phase	○	Foïlé	CL	Chlorite
a b c d	Synforme et antiforme déjeté de première phase	○	Rubané	CP	Chalcopyrite
a b c d	Synforme et antiforme de seconde phase	○	Cisaillé	CR	Chloropyroxène
a b c d	Isograde de l'orthopyroxène tel qu'observé sur le terrain (CPX du côté des "o")	○	Schisé	OX	Orthopyroxène
		○	Massif	FK	Feldspath potassique
		○	Béclitique ou agmatitique	GP	Graphite
		○	Boudiné	GR	Grenat
		○	Ovèle	HB	Hornblende
		○	Porphyroclastique	KY	Kyanite
		○	Porphyrique	MG	Magnétite
		○	Granoblastique	MV	Muscovite
		○	Coronitique		
		○	Cyclique ou biasto-optique		
		○	Enduse		
		○	Alternance de 2 lithofaciés		
		○	Vestige de structure en coussin?		
		○	Vestige de litage sédimentaire?		
		○	Leucosome		
		○	Milanosome		
		○	Chloritisation		
		○	Épidothisation		
		○	Riche en grenat		
		○	Hématisation		
		○	Oxydation ferugineuse, gossan		
		○	Silicite ou quartzose		

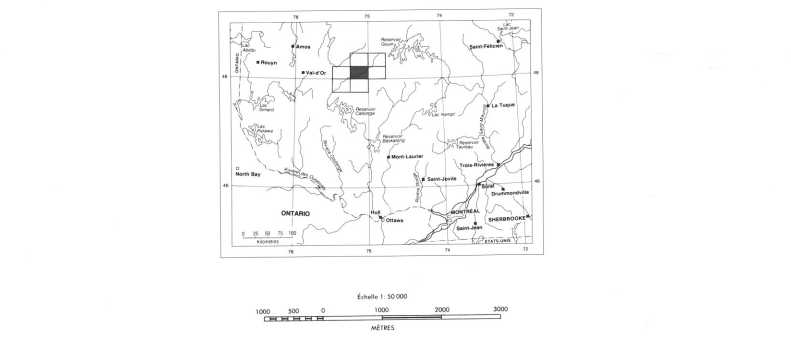


GÉOLOGIE DE LA RÉGION DE PRESS-CLOVA
FUUILLET LAC VALMY
32 C/8
Géologie par: R. GIRARD, T.C. BIRKETT, J. MOORHEAD et N. MARCHILDON
Accompagne le MB 93-04
1 de 7

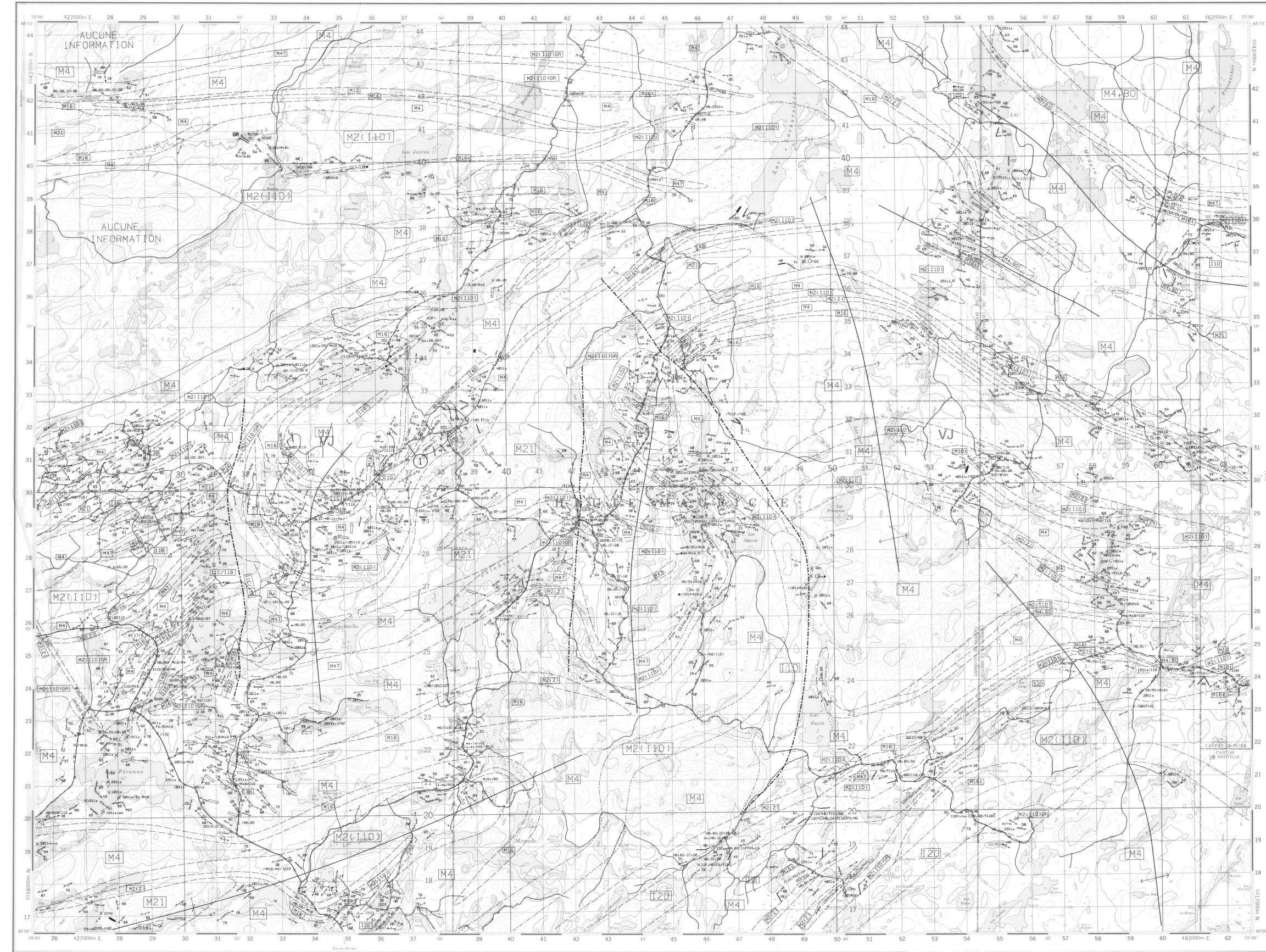


LITHOFACIÉS		ÉLÉMENTS STRUCTURAUX	
11A	Granite à feldspath alcalin	a b c	Liage magmatique ou sédimentaire vestige
11B	Granite	a b c	Pendage a) indéterminé, b) incliné, c) sub-vertical
11C	Granodiorite (non-certifié par un test de coloration des feldspaths)	a b c	Schistosité et foliation minérale première
11D	Tonalite ou trondhémite	a b c	Pendage a) indéterminé, b) incliné, c) sub-vertical, d) sub-horizontal
11G	Pegmatite	a b c	Pegmatite rose
11Gr	Pegmatite rose	a b c	Schistosité et foliation minérale seconde
12A	Syénite quartzifère à feldspath alcalin	a b c	Pendage a) indéterminé, b) incliné, c) sub-vertical
12C	Syénite quartzifère	a b c	Civage tardif: pendage a) incliné, b) sub-vertical
12D	Syénite	a b c	Gneissité première: pendage a) indéterminé, b) incliné, c) sub-vertical, d) sub-horizontal
12E	Monzonite quartzifère	a b c	Gneissité seconde: pendage a) indéterminé, b) incliné, c) sub-vertical
12F	Monzonite	a b c	Rubanement migmatique: pendage a) indéterminé, b) incliné, c) sub-vertical
13A	Gabbro	a b c	Rubanement tectonique catazonal (premier): pendage incliné
13AO	Gabbro coronitique	a b c	Rubanement tectonique ou mylonite (second): pendage incliné
13B	Diabase et microgabbro	a b c	Asymétrie réticée au rubanement: Compasite a) droite, b) senestre, c) normale, d) inverse
13B7	Diabase interprété à partir des cartes aéromagnétiques (champ total)	a b c	Plan axial de pli mésooscopique: Pendage a) indéterminé, b) incliné, c) sub-vertical
13G	Anorthosite	a b c	Pli mésooscopique: a) symétrique, b) droite, c) déjeté normal, d) déjeté inverse
13J	Norite	a b c	Faule mineure: pendage a) indéterminé, b) incliné, c) sub-vertical
13O	Lamprophyre (spessartite)	a b c	Mouvement a) droite, b) senestre, c) normal, d) inverse
14A	Hornblende	a b c	Cisailllement mineur: Pendage a) indéterminé, b) incliné, c) sub-vertical
14B	Pyroxénite	a b c	Mouvement apparent a) senestre, b) droite, c) indéterminé
14I	Piedroite	a b c	Shear band a) droite, b) senestre
15B	Basalte	a b c	Bande de kink: a) droite, b) senestre
S3	Grauwacke	a b c	Dyke à pendage: a) indéterminé, b) incliné, c) sub-vertical
S9D	Formation de fer silicaté	a b c	Veine à pendage: a) incliné, b) sub-vertical
M2	Gneiss rubané	a b c	Joint à pendage: a) incliné, b) sub-vertical
M2 GR	Pygmatite	a b c	Linéation d'étrement
M2(11D)	Gneiss tonalitique	a b c	Alignement de minéraux métamorphiques
M2(11D)?	Gneiss tonalitique interprété de la carte aéromagnétique	a b c	Axe long de boudins
M2(11D)GR	Gneiss tonalitique à grenat	a b c	Axe de pli et linéation d'intersection: a) pré-gneissosité, b) post-gneissosité
M2(11D)m	Gneiss tonalitique mésocrate	a b c	Strie de glissement de faille
M2(11D)	Gneiss intermédiaire	a b c	Tranchée d'exploration minière abandonnée
M4	Paragneiss à biotite et grenat	a b c	Indice minéralisé
M47	Paragneiss mésocrate d'affinité incertaine	a b c	
M4,BO	Paragneiss à biotite	a b c	
M6	Gneiss rose	a b c	
M7	Granulite	a b c	
M12	Quartzite	a b c	
M14	Roche calco-silicatée	a b c	
M16	Gneiss mafique à amphibole et grenat	a b c	
M16r	Amphibolite	a b c	
M21	Diastirite dérivant d'un paragneiss	a b c	
M27	Pseudotachyite	a b c	

ÉLÉMENTS TEXTURAUX		MINÉRAUX	
●	Grain fin (<1mm)	AL	Allanite
▲	Grain moyen (1mm < x < 2mm)	AM	Amphibole
●	Grain grossier (2mm < x < 20mm)	BE	Beryl
○	Pegmatite (>5mm)	BO	Bohte
○	Foïlé	CL	Chlorite
○	Cisaillé	CP	Chalcocérite
○	Schistoux	CP	Clinopyroxène
○	Veine	FX	Feldspath
+	Injection		
+	Endlave		
/	Alternance de 2 lithofaciés		
sp	"stré"		
nb	nébulitique		
ho	homogène		
□	Massif	FK	Feldspath potassique
△	Béctique ou agmatique	GP	Graphite
○	Boudiné	GR	Grosat
○	Océité	HB	Hornblende
⊗	Porphyroclastique	KY	Kyanite
⊗	Porphyroblastique	M2	Magnétite
⊗	Porphyrique	MV	Muscovite
○	Granuloblastique		
○	Coronitique		
△	Ophitique ou blasto-ophitique		
△	Vestige de structure en coquille?		
≡	Vestige de liage sédimentaire?		
ls	Leucosome		
ms	Milanosome		

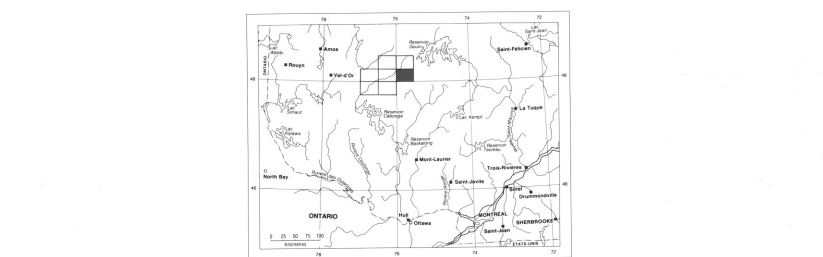


GÉOLOGIE DE LA RÉGION DE PRESS-CLOVA
FEUILLET FORSYTHE
32 C/1
 Géologie par: R. GIRARD, T.C. BIRKETT, J. MOORHEAD et N. MARCHILDON
 Accompagne le MB 93-04
 2 de 7

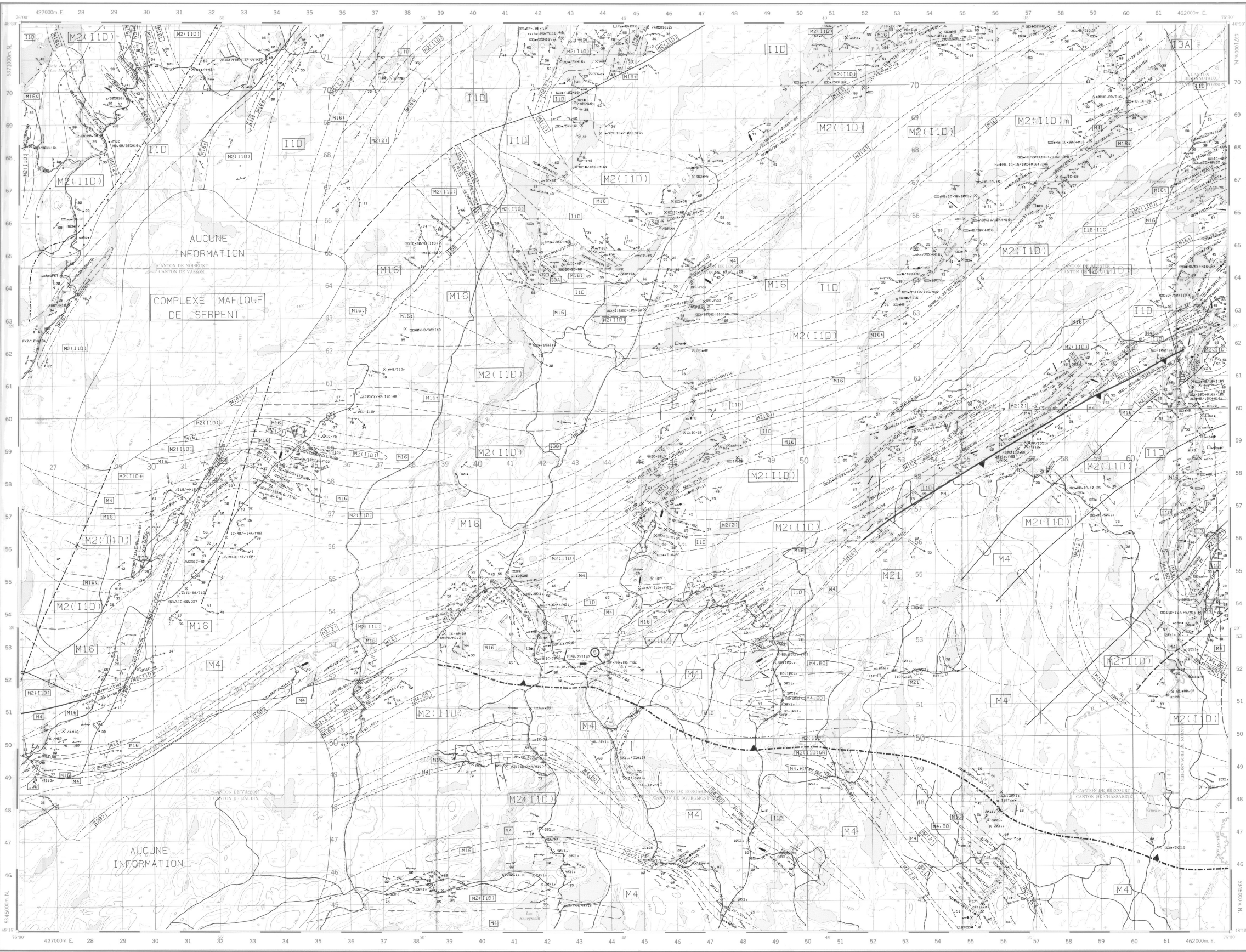


LITHOFACIÉS		ÉLÉMENTS STRUCTURAUX	
11A	Granite à feldspath alcalin	a b c	Litage magmatique ou sédimentaire vestige
11B	Granite (non-certié par un test de coloration des feldspaths)	a b c	Pendage a) indéterminé, b) incliné, c) sub-vertical
11C	Tonalite ou trondhjemite	a b c d	Schistosité et foliation minérale première
11D	Pagmatite rose	a b c d	Pendage a) indéterminé, b) incliné, c) sub-vertical, d) sub-horizontal
11E	Système quartzifère à feldspath alcalin	a b c	Schistosité et foliation minérale seconde
12C	Système quartzifère	a b c	Pendage a) indéterminé, b) incliné, c) sub-vertical
12D	Système	a b c	Clitage tardif: pendage a) incliné, b) sub-vertical
12E	Monzonite quartzifère	a b c	Pendage a) indéterminé, b) incliné, c) sub-vertical
12F	Monzonite	a b c	Gneissosité première: pendage a) indéterminé, b) incliné, c) sub-vertical, d) sub-horizontal
13A	Gabbro	a b c	Gneissosité seconde: pendage a) indéterminé, b) incliné, c) sub-vertical
13A(O)	Gabbro coronitique	a b c	Rubanement migmatique: pendage a) indéterminé, b) incliné, c) sub-vertical
13B	Dabasse et microgabbro	a b c	Rubanement tectonique ou mylonite (premier): pendage incliné
13B?	Dabasse interprétée à partir des cartes aéromagnétiques (champ total)	a b c	Rubanement tectonique ou mylonite (second): pendage incliné
13C	Anorthosite	a b c	Asymétrie reliée au rubanement: Composante a) droite, b) senestre, c) normale, d) inverse
13J	Notite	a b c	Plan axial de pli mésoocrogne: Pendage a) indéterminé, b) incliné, c) sub-vertical
13O	Lamprophyre (spessartite)	a b c	Pli mésoocrogne: a) symétrique, b) droite, c) déjété normal, d) déjété inverse
14A	Hornblende	a b c	Faule mineure: pendage a) indéterminé, b) incliné, c) sub-vertical
14B	Pyroxérite	a b c	Mouvement a) droite, b) senestre, c) normal, d) inverse
14I	Félsite	a b c	Cisaillissement mineur: Pendage a) indéterminé, b) incliné, c) sub-vertical
15B	Basalte	a b c	Mouvement apparent a) senestre, b) droite, c) indéterminé
S3	Grauwacke	a b c	Shear band a) droite, b) senestre
S9D	Formation de fer silicaté	a b c	Bande de kink: a) droite, b) senestre
M2	Gneiss rubané	a b c	Dyke à pendage: a) indéterminé, b) incliné, c) sub-vertical
M2, GR	Pyrrhinite	a b c	Veine à pendage: a) incliné, b) sub-vertical
M2(11D)	Gneiss tonalitique	a b c	Joints à pendage: a) incliné, b) sub-vertical
M2(11D)?	Gneiss tonalitique interprété de la carte aéromagnétique	a b c	Linéation d'élement
M2(11D),GR	Gneiss tonalitique à grenat	a b c	Alignement de minéraux métamorphiques
M2(11D)m	Gneiss tonalitique mésocrate	a b c	Axe long de boudins
M2(2)	Gneiss intermédiaire	a b c	Axe de pli et linéation d'intersection: a) pré-gneissosité, b) post-gneissosité
M4	Paragneiss à biotite et grenat	a b c	Strie de glissement de faille
M4?	Paragneiss mésocrate d'affinité incertaine	a b c	Strie glaciaire
M4,BO	Paragneiss à biotite	a b c	Tranchée d'exploration minière abandonnée
M6	Gneiss rose	a b c	Indice minéralisé
M7	Granulite	a b c	
M12	Quartzite	a b c	
M14	Roche calco-silicatée	a b c	
M16	Gneiss mafique à amphibole et grenat	a b c	
M16I	Amphibolite	a b c	
M21	Diatexite dérivant d'un paragneiss	a b c	
M27	Pseudotachylyte	a b c	

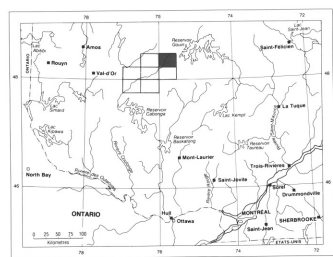
ÉLÉMENTS TEXTURAUX		MINÉRAUX	
•	Grain fin (<1mm)	AL	Allanite
•	Grain moyen (1mm < x < 2mm)	AM	Amphibole
•	Grain grossier (2mm < x < 2mm)	GP	Graphite
●	Pegmatite (>5mm)	GR	Grenat
○	Foïé	BO	Boîte
□	Rubané	CL	Chlorite
▨	Cisaillé	CP	Chalcopyrite
▩	Schistosité	CX	Clinopyroxène
○	Coronitique	FK	Feldspath potassique
△	Cyclique ou blasto-ophitique	OX	Orthopyroxène
+	Enclasse	PG	Plagioclase
+	Altération de 2 lithofaciés	PY	Pyrrhinite
sg	'strie'	KY	Kyanite
nb	nébulosité	MG	Magnétite
ho	homogène	MV	Muscovite
		SL	Sillimanite
		SU	Sulfures
		TL	Tourmaline



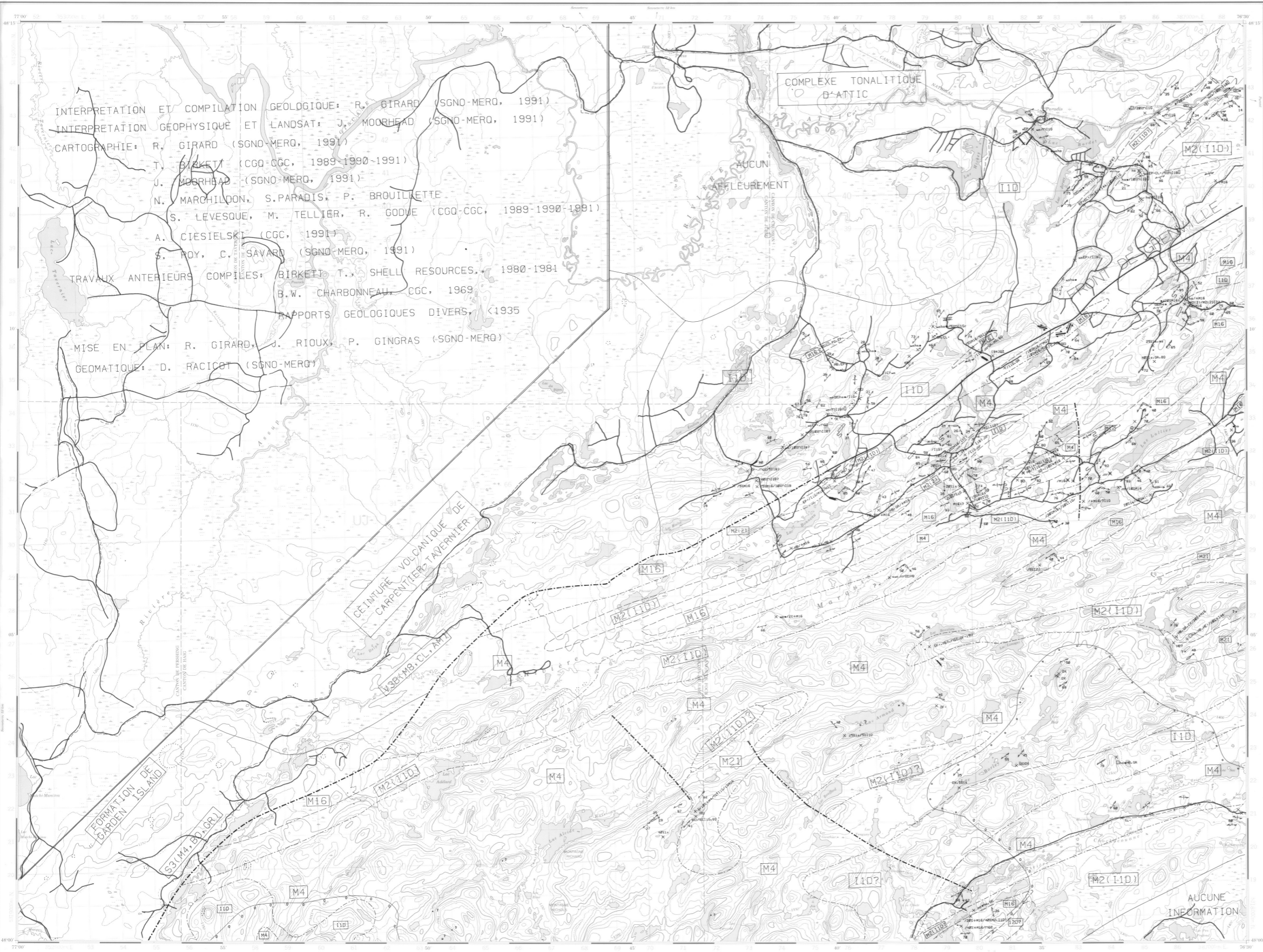
GÉOLOGIE DE LA RÉGION DE PRESS-CLOVA
FEUILLET LAC CHOISEUL 32 B/4
Géologie par: R. GIRARD, T.C. BIRKETT, J. MOORHEAD et N. MARCHILDON
Accompagne le MB 93-04
3 de 7



- ### LITHOFACIES
- I1A Granite à feldspath alcalin
 - I1B Grandorite (non-certifié par un test de coloration des feldspaths)
 - I1C Tonaille ou trondhémite
 - I1G Pégmatite
 - I1G? Pégmatite rose
 - I2A Syénite quartzière à feldspath alcalin
 - I2C Syénite quartzière
 - I2D Syénite
 - I2E Monzonite quartzière
 - I2F Monzonite
 - I3A Gabbro
 - I3A? Gabbro coronitique
 - I3B Diabase et microgabbro
 - I3B? Diabase interprété à partir des cartes aéromagnétiques (champ total)
 - I3J Anorthosite
 - I3O Nœtte
 - I3O Lamprophyre (spessartite)
 - I4A Hornblende
 - I4B Pyroxénite
 - I4I Périodite
 - V3B Basalte
 - S3 Grauwacke
 - S9D Formation de fer silicaté
 - M2 Gneiss rubané
 - M2, GR Pyrigamite
 - M2(I1D) Gneiss tonalitique
 - M2(I1D)? Gneiss tonalitique interprété de la carte aéromagnétique
 - M2(I1D),GR Gneiss tonalitique à grenat
 - M2(I1D)m Gneiss tonalitique mésocrate
 - M2(O) Gneiss intermédiaire
 - M4 Paragneiss à biotite et grenat
 - M4? Paragneiss mésocrate d'affinité incertaine
 - M4,BO Paragneiss à biotite
 - M6 Gneiss rose
 - M7 Granulite
 - M12 Quartzite
 - M14 Roche calco-silicatée
 - M16 Gneiss mafique à amphibole et grenat
 - M16? Amphibolite
 - M21 Diatexite dérivant d'un paragneiss
 - M27 Pseudotachyite
- ### ÉLÉMENTS STRUCTURAUX
- a b c d Laque magmatique ou sédimentaire vestige:
 - Pendage a) indéterminé, b) incliné, c) sub-vertical
 - a b c d Schistosité et foliation minérale première:
 - Pendage a) indéterminé, b) incliné, c) sub-vertical, d) sub-horizontal
 - a b c d Schistosité et foliation minérale seconde:
 - Pendage a) indéterminé, b) incliné, c) sub-vertical
 - a b c d Clivage tardif: pendage a) incliné, b) sub-vertical
 - a b c d Gneissosité première:
 - Pendage a) indéterminé, b) incliné, c) sub-vertical, d) sub-horizontal
 - a b c d Gneissosité seconde: pendage a) indéterminé, b) incliné, c) sub-vertical
 - a b c d Rubanement migmatique: pendage a) indéterminé, b) incliné, c) sub-vertical
 - a b c d Rubanement tectonique catazonal (premier): pendage incliné
 - a b c d Rubanement tectonique ou mylonite (second): pendage incliné
 - a b c d Asymétrie reliée au rubanement:
 - Composante a) droite, b) senestre, c) normale, d) inverse
 - a b c d Plan axial de pli microscopique:
 - Pendage a) indéterminé, b) incliné, c) sub-vertical
 - a b c d Pli microscopique:
 - a) symétrique, b) droite, c) déjeté normal, d) déjeté inverse
 - a b c d Faille mineure: pendage a) indéterminé, b) incliné, c) sub-vertical
 - a b c d Mouvement a) droite, b) senestre, c) normal, d) inverse
 - a b c d Cisaillement mineur:
 - Pendage a) indéterminé, b) incliné, c) sub-vertical
 - Mouvement apparent a) senestre, b) droite, c) indéterminé
 - Shear band: a) droite, b) senestre
 - Bande de kink: a) droite, b) senestre
 - Dyke à pendage: a) indéterminé, b) incliné, c) sub-vertical
 - Veine à pendage: a) incliné, b) sub-vertical
 - Joints à pendage: a) incliné, b) sub-vertical
 - Linéation d'étalement
 - Alignement de minéraux métamorphiques
 - Axe long de boudins
 - Axe de pli et linéation d'intersection: a) pré-gneissosité, b) post-gneissosité
 - Strie de glissement de faille
 - Strie glaciaire
 - Tranchée d'exploration minière abandonnée
 - Indice minéralisé
- ### STRUCTURES RÉGIONALES
- a b c d Faille régionale:
 - a) observée, b) interprétée, c) déduite par géophysique, d) déduite par photointerprétation
 - a b Faille de chevauchement
 - Trace d'une surface axiale: a) observée, b) interprétée
 - Synforme et antiforme de première phase
 - Synforme et antiforme déjeté de première phase
 - Synforme et antiforme de seconde phase
 - Isograde de l'orthopyroxène tel qu'observé sur le terrain (CPX du côté des "o")
- ### ÉLÉMENTS TEXTURAUX
- Grain fin (<1mm)
 - Grain moyen (1mm < x < 2mm)
 - Grain grossier (2mm < x < 2mm)
 - Pégmatite (>5mm)
 - Folié
 - Rubané
 - Cisaillé
 - Schistosité
 - Veine
 - Endace
 - Altération de 2 lithofacies
 - sg "strie"
 - nb nébulitique
 - ho homogène
 - Massif
 - Bréchique ou agmatitique
 - Boudiné
 - Océité
 - Porphyroblastique
 - Porphyroblastique
 - Porphyrique
 - Coronitique
 - Ophitique ou blasto-ophitique
 - Vestige de structure en cooussin?
 - Vestige de litage sédimentaire?
 - Leucosome
 - Mélanosome
- ### MINÉRAUX
- AL Allanite
 - AM Amphibole
 - BE Bésyl
 - BO Biotite
 - CL Chlorite
 - OP Chalcopyrite
 - CX Clinopyroxène
 - FP Feldspath
 - FK Feldspath potassique
 - GP Graphite
 - GR Grenat
 - HB Hornblende
 - KY Kyanite
 - MG Magnésite
 - MV Muscovite
 - OX Orthopyroxène
 - PG Plagioclase
 - PO Pyroxène
 - PY Pyrite
 - SL Sillimanite
 - SU Sulfures
 - TL Tourmaline
- ### ALTERATIONS
- CL+ Chloritisation
 - EP+ Epitaxiation
 - GR+ Riche en grenat
 - HE+ Hématitisation
 - OF+ Oxydation ferrugineuse, gossan
 - St+ Sialcité ou quartzoux



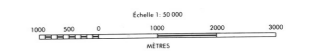
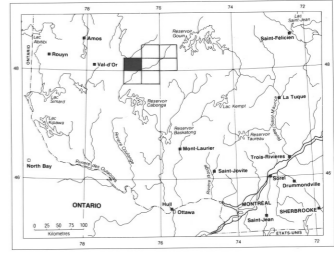
GÉOLOGIE DE LA RÉGION DE
PRESS-CLOVA
FEUILLET LAC BONGARD
32 B/5
Géologie par: R. GIRARD, T.C. BIRKETT, J. MOORHEAD
et N. MARCHILDON
Accompagne le MB 93-04
4 de 7



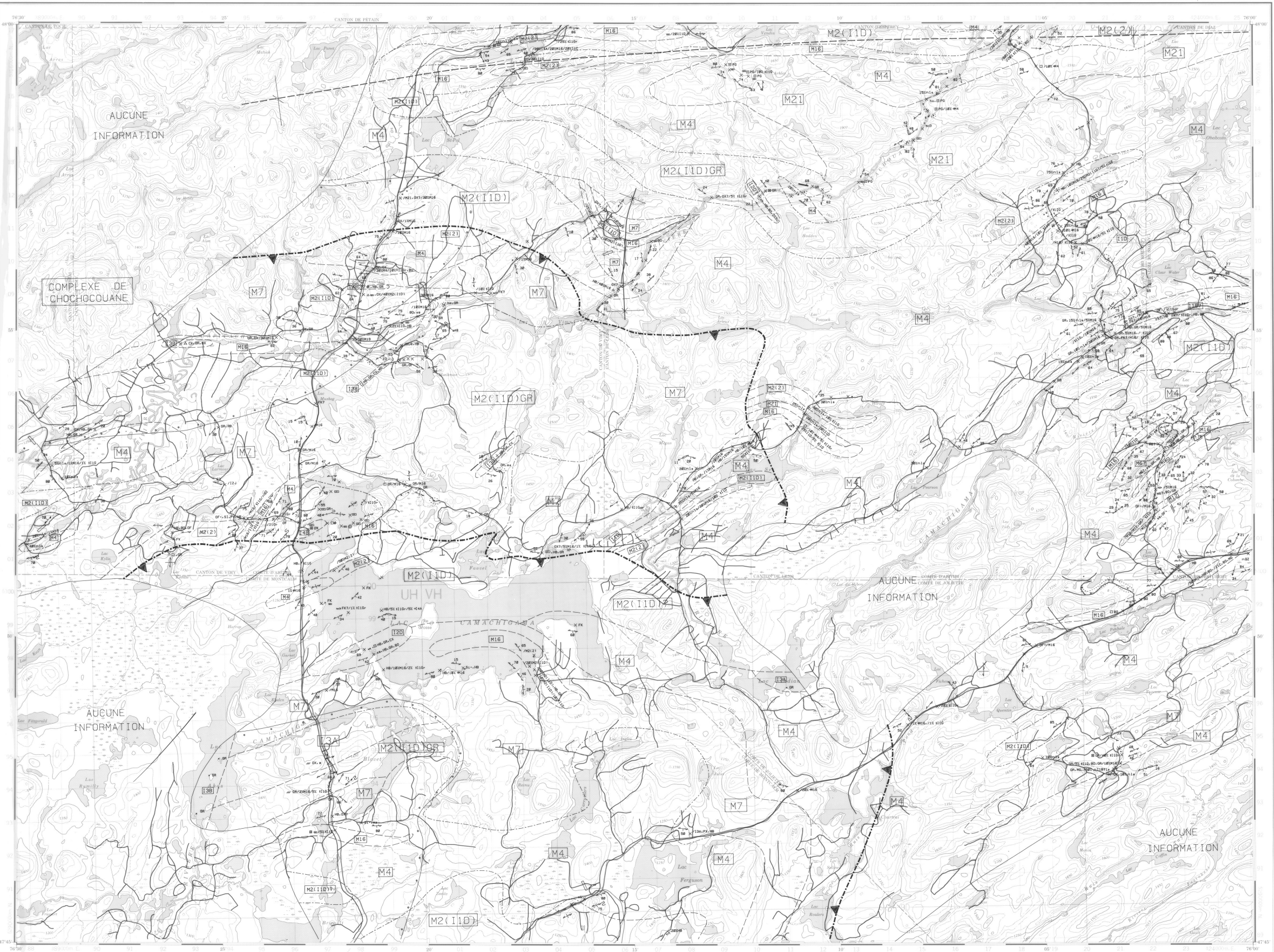
INTERPRÉTATION ET COMPILATION GÉOLOGIQUE: R. GIRARD (SGNO-MERQ, 1991)
 INTERPRÉTATION GÉOPHYSIQUE ET LANDSAT: J. MOORHEAD (SGNO-MERQ, 1991)
 CARTOGRAPHIE: R. GIRARD (SGNO-MERQ, 1991)
 T. BIRKETI (CGQ-CGC, 1989-1990-1991)
 J. MOORHEAD (SGNO-MERQ, 1991)
 N. MARCHILDON, S. PARADIS, P. BROUILLETTE
 S. LEVESQUE, M. TELLIER, R. GODVE (CGQ-CGC, 1989-1990-1991)
 A. CIESIELSKI (CGC, 1991)
 S. ROY, C. SAVARD (SGNO-MERQ, 1991)
 TRAVAUX ANTERIEURS COMPILÉS: BIRKETI, T., SHELL RESOURCES, 1980-1981
 B.W. CHARBONNEAU, CGC, 1969
 RAPPORTS GÉOLOGIQUES DIVERS, <1935
 MISE EN PLAN: R. GIRARD, J. RIOUX, P. GINGRAS (SGNO-MERQ)
 GÉOMATIQUE: D. RACICOT (SGNO-MERQ)

- LITHOFACIES**
- 11A Granite à feldspath alcalin
 - 11B Grandiorite (non-certié par un test de coloration des feldspaths)
 - 11C Tonnite ou trondhémite
 - 11D Pégmatite
 - 11E Pégmatite rose
 - 12A Syénite quartzifère à feldspath alcalin
 - 12C Syénite quartzifère
 - 12D Syénite
 - 12E Monzonite quartzifère
 - 12F Monzonite
 - 13A Gabbro
 - 13A0 Gabbro carbonitique
 - 13B Diabase et microgabbro
 - 13B? Diabase interprété à partir des cartes aéromagnétiques (champ total)
 - 13G Anorthosite
 - 13J Naitte
 - 13O Lamprophyre (spessartite)
 - 14A Hornblende
 - 14B Pyroxénite
 - 14I Péroïdite
 - 13B Scaélite
 - S3 Grauwacke
 - S9D Formation de fer silicaté
 - M2 GR Pyrgamite
 - M2(11D) Gneiss tonalitique
 - M2(11D)? Gneiss tonalitique interprété de la carte aéromagnétique
 - M2(11D)GR Gneiss tonalitique à grenat
 - M2(11D)m Gneiss tonalitique mésocrate
 - M2(C) Gneiss intermédiaire
 - M4 Paragneiss à biotite et grenat
 - M4? Paragneiss mésocrate d'affinité incertaine
 - M4,BO Paragneiss à biotite
 - M6 Gneiss rose
 - M7 Granulite
 - M12 Quartzite
 - M14 Roche calico-silicatée
 - M16 Gneiss mafique à amphibole et grenat
 - M16I Amphibolite
 - M21 Diatexite dérivant d'un paragneiss
 - M27 Pseudotachyite
- ÉLÉMENTS STRUCTURAUX**
- Litage magmatique ou sédimentaire vestige:
 - Pendage a) indéterminé, b) incliné, c) sub-vertical
 - Schistosité et foliation minérale première:
 - Pendage a) indéterminé, b) incliné, c) sub-vertical, d) sub-horizontal
 - Schistosité et foliation minérale seconde:
 - Pendage a) indéterminé, b) incliné, c) sub-vertical
 - Civage tardif:
 - pendage a) incliné, b) sub-vertical
 - Gneissosité première:
 - Pendage a) indéterminé, b) incliné, c) sub-vertical, d) sub-horizontal
 - Gneissosité seconde:
 - pendage a) indéterminé, b) incliné, c) sub-vertical
 - Rubanement migmatique:
 - pendage a) indéterminé, b) incliné, c) sub-vertical
 - Rubanement tectonique catazonal (premier):
 - pendage incliné
 - Rubanement tectonique ou mylonite (second):
 - pendage incliné
 - Asymétrie reliée au rubanement:
 - Composante a) droite, b) senestre, c) normale, d) inverse
 - Plan axial de pli mésooscopique:
 - Pendage a) indéterminé, b) incliné, c) sub-vertical
 - Pli mésooscopique:
 - a) symétrique, b) droite, c) déjeté normal, d) déjeté inverse
 - Faïlle mineure:
 - pendage a) indéterminé, b) incliné, c) sub-vertical
 - Mouvement a) droite, b) senestre, c) normal, d) inverse
 - Cisaillement mineur:
 - Pendage a) indéterminé, b) incliné, c) sub-vertical
 - Mouvement apparent a) senestre, b) droite, c) indéterminé
 - Shear band a) droite, b) senestre
 - Bande de link a) droite, b) senestre
 - Dyke à pendage:
 - a) indéterminé, b) incliné, c) sub-vertical
 - Veine à pendage:
 - a) incliné, b) sub-vertical
 - Joint à pendage:
 - a) incliné, b) sub-vertical
 - Linéation d'étiement
 - Alignement de minéraux métamorphiques
 - Axe long de boudins
 - Axe de pli et linéation d'intersection:
 - a) pré-gneissosité, b) post-gneissosité
 - Site de glissement de faille
 - Site glaciaire
 - Tranchée d'exploration minière abandonnée
 - Indice minéralisé

- ÉLÉMENTS TEXTURAUX**
- Grain fin (<1mm)
 - Grain moyen (1mm < x < 2mm)
 - Grain grossier (2mm < x < 2mm)
 - Pégmatite (>5mm)
 - Folié
 - Rubané
 - Casillé
 - Schisteux
 - Veine
 - Injection
 - Enclave
 - Alternance de 2 lithofacies
 - sg "stré"
 - nb nébulique
 - ho homogène
 - Massif
 - Briélique ou agmatique
 - Boudiné
 - Cœilé
 - Porphyroblastique
 - Porphyroblastique
 - Porphyrique
 - Schisteux
 - Canoritique
 - Ophitique ou blasto-ophitique
 - Vestige de structure en coussin?
 - Vestige de litage sédimentaire?
 - ms Mélanosome
- MINÉRAUX**
- AL Allanite
 - AM Amphibole
 - BE Bésyl
 - BO Biotite
 - CL Chlorite
 - CP Chalcopyrite
 - CX Clinopyroxène
 - FP Feldspath
 - FK Feldspath potassique
 - GP Graphite
 - GR Grenat
 - HB Hornblende
 - KY Kyanite
 - MG Magnésite
 - MV Muscovite
 - OX Orthopyroxène
 - PG Plagioclase
 - PO Pyroxène
 - PY Pyrite
 - SL Sillimanite
 - SU Sulfures
 - TL Tourmaline
- ALTERATIONS**
- CL+ Chloritisation
 - EP+ Epoxidation
 - GR+ Riche en grenat
 - HE+ Hématitisation
 - OF+ Oxydation ferrique, gossan
 - St+ Silicite ou quartzes



GÉOLOGIE DE LA RÉGION DE PRESS-CLOVA
FEUILLET PARADIS
 32 C/2
 Géologie par: R. GIRARD, T.C. BIRKETI, J. MOORHEAD
 et N. MARCHILDON
 Accompagne le MB 93-04
 5 de 7



LITHOFACIES

- 11A Granite à feldspath alcalin
- 11B Granodiorite (non-certié par un test de coloration des feldspaths)
- 11C Tonallite ou trondhjemite
- 11G Pegmatite
- 11Gr Pegmatite rose
- 12A Syénite quartzifère à feldspath alcalin
- 12C Syénite quartzifère
- 12D Syénite
- 12E Monzonite quartzifère
- 12F Monzonite
- 13A Gabbro
- 13AO Gabbro coronitique
- 13B Diabase et microgabbro
- 13B? Diabase interprété à partir des cartes aéromagnétiques (champ total)
- 13G Anorthosite
- 13J Norite
- 13O Lamprophyre (spessartite)
- 14A Hornblende
- 14B Pyroxénite
- 14I Pénitente
- V3B Basalte
- S3 Grauwacke
- S9D Formation de for silicaté
- M2 Gneiss rubané
- M2, GR Pyrigamite
- M2(11D) Gneiss tonalitique
- M2(11D)? Gneiss tonalitique interprété de la carte aéromagnétique
- M2(11D),GR Gneiss tonalitique à grenat
- M2(11D)m Gneiss tonalitique mésocrate
- M2Q Gneiss intermédiaire
- M4 Paragneiss à biotite et grenat
- M4? Paragneiss mésocrate d'affinité incertaine
- M4,BO Paragneiss à biotite
- M6 Gneiss rose
- M7 Granulite
- M12 Quartzite
- M14 Roche calco-silicatée
- M16 Gneiss matique à amphibole et grenat
- M16i Amphibolite
- M21 Diatexite dérivant d'un paragneiss
- M27 Pseudotachyélite

- Affaissement:
a) visé et décliné, b) visé, non-décliné, c) non visé,
d) grand affaissement

STRUCTURES RÉGIONALES

- a b c d Faille régionale:
a) observée, b) interprétée, c) déduite par géophysique,
d) déduite par photointerprétation
- Faille de chevauchement
- Tracé d'une surface axiale: a) observée, b) interprétée
- Synforme et antiforme de première phase
- Synforme et antiforme déjétés de première phase
- Synforme et antiforme de seconde phase
- Isograde de l'orthopyroxène tel qu'observé sur le terrain (CPX du côté des "0")

ÉLÉMENTS STRUCTURAUX

- Litage magmatique ou sédimentaire vestige:
Pendage a) indéterminé, b) incliné, c) sub-vertical
- Schistosité et foliation minérale première:
Pendage a) indéterminé, b) incliné, c) sub-vertical, d) sub-horizontale
- Schistosité et foliation minérale seconde:
Pendage a) indéterminé, b) incliné, c) sub-vertical
- Clivage tardif: pendage a) incliné, b) sub-vertical
- Gneissosité première:
Pendage a) indéterminé, b) incliné, c) sub-vertical, d) sub-horizontale
- Gneissosité seconde: pendage a) indéterminé, b) incliné, c) sub-vertical
- Rubanement migmatique: pendage a) indéterminé, b) incliné, c) sub-vertical
- Rubanement tectonique orogénal (premier): pendage incliné
- Rubanement tectonique ou mylonite (second): pendage incliné
- Asymétrie reliée au rubanement:
Composante a) droite, b) senestre, c) normale, d) inverse
- Plan axial de pli mésostructural:
Pendage a) indéterminé, b) incliné, c) sub-vertical
- PI mésostructurale:
a) symétrique, b) droite, c) déjété normal, d) déjété inverse
- Faille mineure: pendage a) indéterminé, b) incliné, c) sub-vertical
- Mouvement a) droite, b) senestre, c) normal, d) inverse
- Cisaillement mineur:
Pendage a) indéterminé, b) incliné, c) sub-vertical
- Mouvement apparent a) senestre, b) droite, c) indéterminé
- Shear band: a) droite, b) senestre
- Bande de kink: a) droite, b) senestre
- Dyke à pendage: a) incliné, b) incliné, c) sub-vertical
- Veine à pendage: a) incliné, b) sub-vertical
- Joins à pendage: a) incliné, b) sub-vertical
- Liniation d'éirement
- Alignement de minéraux métamorphiques
- Axe long de boudins
- Axe de pli et liniation d'intersection: a) pré-gneissosité, b) post-gneissosité
- Strie de glissement de faille
- Strie glaciaire
- Tranchée d'exploration minière abandonnée
- Indice minéralisé

ÉLÉMENTS TEXTURAUX

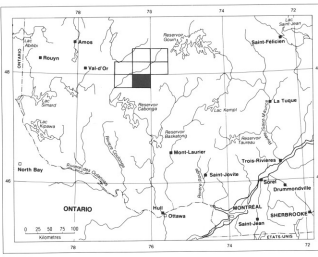
- Grain fin (<1mm)
- Grain moyen (1mm < x < 2mm)
- Grain grossier (2mm < x < 2mm)
- Pegmatitique (>5mm)
- Foild
- Rubané
- Cisailé
- Schisteux
- Veine
- Injection
- Endose
- Alternance de 2 lithofacies
- "shé"
- nb nébulitique
- ho homogène
- Masseif
- Béctique ou agmatitique
- Boudiné
- Oeilé
- Porphyroclastique
- Porphyroblastique
- Porphyrique
- Granoblastique
- Coronitique
- Ophitique ou klasto-ophitique
- Vestige de structure en coussin?
- Vestige de litage sédimentaire?
- Is
- Leucosome
- Mélanosome

MINÉRAUX

- AL Allanite
- AM Amphibole
- BE Beryl
- BO Biotite
- CL Chlorite
- CP Chalcopyrite
- CX Chirogyroène
- FP Feldspath
- FK Feldspath potassique
- GP Graphite
- GR Grenat
- HB Hornblende
- KY Kyanite
- MG Magnetite
- MV Muscovite
- OX Orthopyroxène
- PG Plagioclase
- PY Pyrite
- SL Sillimanite
- SU Sulfures
- TL Tourmaline

ALTÉRATIONS

- CL+ Chloritisation
- EP+ Epidotisation
- GR+ Riche en grenat
- HE+ Hématitisation
- OF+ Oxydation ferugineuse, gossan
- SI+ Silicifié ou quartzeux

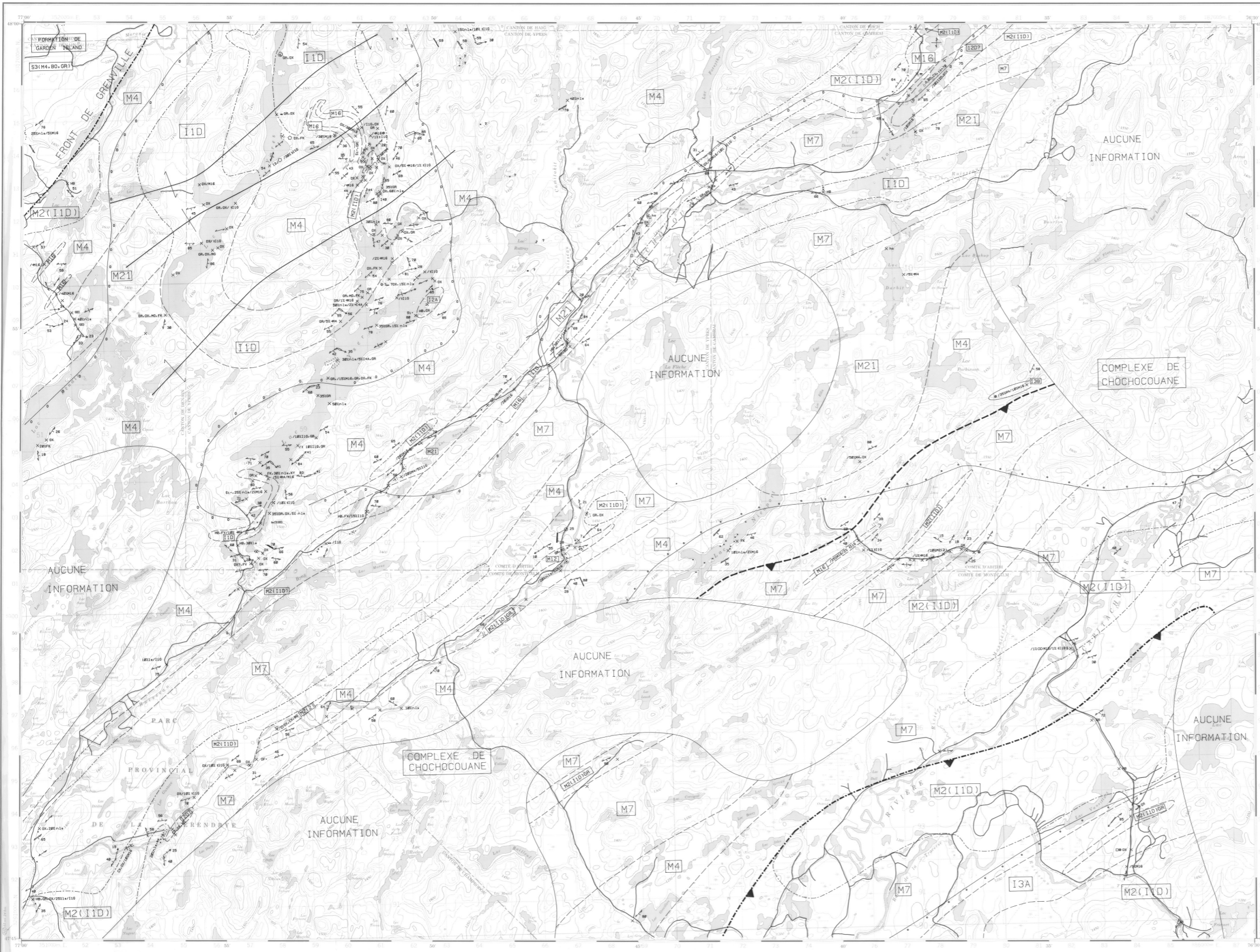


Échelle 1:50 000
1000 500 0 500 1000 2000 3000

GÉOLOGIE DE LA RÉGION DE
PRESS-CLOVA
FEUILLET LAC CAMACHIGAMA
31 N/16

Géologie par: R. GIRARD, T.C. BIRKETT, J. MOORHEAD
et N. MARCHILDON

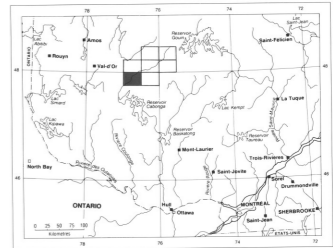
Accompagne le MB 93-04
6 de 7



LITHOFACIÉS		ÉLÉMENTS STRUCTURAUX	
I1A	Granite à feldspath alcalin	a b c	Litage magmatique ou sédimentaire vestige;
I1B	Granite	a b c	Pendage a) indéterminé, b) incliné, c) sub-vertical
I1C	Granodiorite (non-certié par un test de coloration des feldspaths)	a b c	Schistoïté et foliation minérale première;
I1D	Tonalite ou trondhémite	a b c	Pendage a) indéterminé, b) incliné, c) sub-vertical, d) sub-horizontal
I1G	Pegmatite	a b c	Schistoïté et foliation minérale seconde;
I1Gr	Pegmatite rose	a b c	Pendage a) indéterminé, b) incliné, c) sub-vertical
I2A	Syénite quartzifère à feldspath alcalin	a b c	Civage tardif pendage a) incliné, b) sub-vertical
I2C	Syénite quartzifère	a b c	
I2E	Monzonite quartzifère	a b c	
I2F	Monzonite	a b c	
I3A	Gabbro	a b c	Gneissosité première;
I3AO	Gabbro coronitique	a b c	Pendage a) indéterminé, b) incliné, c) sub-vertical, d) sub-horizontal
I3B	Diabase et microgabbro	a b c	
I3B?	Diabase interprété à partir des cartes aéromagnétiques (champ total)	a b c	Gneissosité seconde; pendage a) indéterminé, b) incliné, c) sub-vertical
I3C	Anorthosite	a b c	
I3J	Norite	a b c	Rubanement migmatique; pendage a) indéterminé, b) incliné, c) sub-vertical
I3K	Lamprophyre (spessartite)	a b c	
I4A	Hornblende	a b c	Rubanement tectonique catazonal (premier); pendage incliné
I4B	Pyroxénite	a b c	Rubanement tectonique ou mylonite (second); pendage incliné
I4I	Péridolite	a b c	
V3B	Basalte	a b c	Asymétrie reliée au rubanement;
S3	Grauwacke	a b c	Composante a) droite, b) senestre, c) normale, d) inverse
S9D	Formation de fer silicaté	a b c	
M2	Gneiss rubané	a b c	Plan axial de pli mésostructural;
M2, GR	Pegmatite	a b c	Pendage a) indéterminé, b) incliné, c) sub-vertical
M2(I1D)	Gneiss tonalitique	a b c	
M2(I1D)?	Gneiss tonalitique interprété de la carte aéromagnétique	a b c	
M2(I1D)G	Gneiss tonalitique à grenat	a b c	
M2(I1D)m	Gneiss tonalitique mésostrate	a b c	
M2(I2)	Gneiss intermédiaire	a b c	
M4	Paragneiss à biotite et grenat	a b c	
M4?	Paragneiss mésostrate d'altéris incertaine	a b c	
M4BO	Paragneiss à biotite	a b c	
M6	Gneiss rose	a b c	
M7	Granulite	a b c	
M12	Quartzite	a b c	
M14	Roche calco-silicatée	a b c	
M16	Gneiss mafique à amphibole et grenat	a b c	
M18	Amphibolite	a b c	
M21	Diatérite dérivant d'un paragneiss	a b c	
M27	Pseudotachyite	a b c	
a b c d	Allègement:	a b c d	
a	visité et décrit	b	visité, non décrit
c	non visité	d	grand allègement

STRUCTURES RÉGIONALES		ÉLÉMENTS TEXTURAUX		MINÉRAUX	
a b c d	Faïlle régionale:	a	Masseil	AL	Allanite
a	observée	b	Bréchique ou agmatitique	AM	Amphibole
b	interprétée	c	Boudiné	BE	Béryl
c	déduite par géophysique	d	Céllé	BO	Boîte
d	déduite par photomorphologie	e	Folité	CL	Chlorite
a b	Faïlle de chevauchement	f	Folité (p>5mm)	CP	Chalcopyrite
a	observée	g	Rubané	CX	Cinopryoxène
b	interprétée	h	Cisaillé	FP	Feldspath
a b	Synforme et antiforme de première phase	i	Schisteux	FK	Feldspath potassique
a b	Synforme et antiforme déjeté de première phase	j	Veine	GP	Graphite
a b	Synforme et antiforme de seconde phase	k	Injection	GR	Grenat
a b	Isograde de l'orthopyroxène tel qu'observé sur le terrain (OPX du côté des "o")	l	Endose	HB	Hornblende
a	observée	m	Aléance de 2 lithotolés	KY	Kyanite
b	interprétée	n	nb nébulosité	MG	Magnésite
c	déduite par géophysique	o	ho homogène	MV	Muscovite
d	déduite par photomorphologie	p	Trace d'une surface axiale: a) observée, b) interprétée	OX	Orthopyroxène
a	observée	q	Synforme et antiforme de première phase	PG	Plagioclase
b	interprétée	r	Synforme et antiforme déjeté de première phase	PY	Pyrite
c	déduite par géophysique	s	Synforme et antiforme de seconde phase	SL	Sillimanite
d	déduite par photomorphologie	t	Isograde de l'orthopyroxène tel qu'observé sur le terrain (OPX du côté des "o")	SU	Sulfures
a	observée	u	Trace d'une surface axiale: a) observée, b) interprétée	TL	Tourmaline
b	interprétée	v	Synforme et antiforme de première phase		
c	déduite par géophysique	w	Synforme et antiforme de seconde phase		
d	déduite par photomorphologie	x	Isograde de l'orthopyroxène tel qu'observé sur le terrain (OPX du côté des "o")		

ALTERATIONS	
CL	Chloritisation
EP	Epidotisation
GR+	Riches en grenat
HE+	Hématitisation
OF+	Oxydation ferrugineuse, gossan
SI+	Silicification, quartzues



Echelle 1: 50 000
MÈTRES

GÉOLOGIE DE LA RÉGION DE PRESS-CLOVA
FUUILLET LAC YSER
31 N/15

Géologie par: R. GIRARD, T.C. BIRKETT, J. MOORHEAD
et N. MARCHILDON

Accompagne le MB 93-04
7 de 7